



第二屆和平利用原子能國際會議文獻

核燃料和废物处理

5

中国科学院原子核科学委员会编辑委员会编辑

科学出版社出版

核燃料和废物处理 (5)

中国科学院原子核科学委员会编辑委员会编

*

科学出版社出版 (北京朝阳门大街 117 号)
北京市书刊出版业营业登记证字第 061 号

中国科学院印刷厂印刷 新华书店总经售

*

1960 年 8 月第 一 版 书号：2264 分数：105,000
1960 年 8 月第一次印刷 开本：787×1092 1/16
(京) 0001—7,000 印张：3 3/4 插页：6

定价：0.64 元

目 录

- P/395 用方解石-磷酸盐机构从废物中除去錫 (1)
P/951 輻照水中反应的近代研究 (7)
P/1001 生产金属和鉻化合物时所遇到的一些专门問題 (17)
P/1414 用汞阴极电解获得氯化鉻(IV) (26)
P/1474 氧化鉻的电导率 (44)
P/2195 用四氯化碳氯化二氧化鉻和二氧化鉻的反应研究 (47)

用方解石-磷酸盐机构从废物中除去锶*

L. L. Ames**, Jr., J. R. McHenry*** 和 J. F. Honstead**

緒 言

在 Hanford 的土壤研究过程中, 联系到 Sr⁹⁰-Y⁹⁰ 及 Cs¹³⁷-Ba¹³⁷ 在土壤中的持留問題, 研究了磷酸盐对放射性废液的作用。这方面已被觀察到, 在有磷酸盐离子存在时, 在某些土壤上 Sr⁹⁰ 的持留是大大加強了, 但对 Cs¹³⁷ 的持留不产生影响。更进一步研究証明矿石“方解石”(CaCO₃) 在加强 Sr⁹⁰ 的持留中是起着作用的, 因而确定了有关的机构, 同时用它来把 Sr⁹⁰ 从废物中除去的适用性, 部分地作了估計。

研 究 的 方 法

在所有研究中用的合成的废物是由蒸馏水和化学純的药品做成。加入 Sr⁹⁰-Y⁹⁰ 和另外的放射性同位素的量是便于进行計数的。取一定量標記流出液将其蒸干再放在一吋不銹鋼小盤上, 在永久平衡情况下計数, 流入液用相同的方法处理以抵消在流入和流出液小盤間对几何条件自吸收和反散射利用的改正因素 Norelco X-射線繞射装置来确定, 在研究过程中遇到的一些未知物, 应用了不同品种的 CaCO₃ 試劑級, 光泽的大理石, 灰石, 在它們行狀中沒有重大的差別, 而只和方解石有关。Na₃PO₄ · 12H₂O 被用作 PO₄³⁻ 的来源, 因为在水溶液中它表現硷性。在 Lucite 塑料管內用空白溶液或对照溶液与方解石溶液一齐搖动, 得到平衡的数据。

結 果

在平衡和不平衡(柱)情况下研究了“除去”的机构, 找到三个重要的变量: ①方解石的颗粒大小; ②进入液的 pH; ③柱子流速或方解石-PO₄³⁻ 接触的时间。

表 I 指出了被方解石移去的 Sr⁹⁰ 的相对量, 它們是在給定的时间内, 以不同大小方解石, 从相同的硷性磷酸盐溶液中移去的。給定等重量的方解石表面积越大 Sr 的除去就越快。

表 I
从相同的磷酸盐溶液中用颗粒大小不同的方解石除去 Sr 量的相对值:

方解石的颗粒大小(毫米)	Sr 的除去 %
1.0—2.0	33.9
0.25—1.0	36.8
0.05—0.25	69.2
<0.05	80.0

方解石-溶液接触时间(小时) 1.0

400.0

11.0

流入液: 3M NaNO₃, 0.05M Na₃PO₄ · 12H₂O 每升 2 毫克 Sr(NO₃)₂, 100,000 d/m/ml Sr⁹⁰-Y⁹⁰; 每一样品 40 毫升溶液。

* 第二届和平利用原子能国际会议文献, A/CONF. 15/P/395, 美国, 1958年6月, 原文: 英文。

** Hanford Laboratories Operation, Hanford Atomic Products Operation, General Electric Company, Richland, Washington.

*** Present address: U. S. Department of Agriculture, Box 175 University, Mississippi.

图 1 指出当流入液的 pH 改变时, 被除去 Sr²⁺ 的量的变化。在 pH < 6.8, Sr²⁺ 的除去是可以忽略的。图 2 表示当变化磷酸盐的 pH, 在方解石上除去的改变。

用 12 厘米长的管柱 7 ml/hr/cm² 的流速, 5×10^{-4} 克分子的磷酸盐浓度是足够除去 Sr²⁺, 使小于 $2.5 \times 10^{-5} \mu\text{c}/\text{ml}$, 在这溶液里还加入每公升 1 mg 的惰性 Sr。浓度为 $5 \times 10^{-5} M$ PO₄³⁻, 在相同的情况下除去近于一半的 Sr。图 3 指出 PO₄³⁻ 随时间经过的情况而除去。增加阳离子浓度对除去阳离子的量的影响在所研究的 Sr、Ca 和 Pu 的浓度范围内并不显著改变除去速度(图 4, 5, 6)。在 0.05 M 中性到碱性磷酸溶液中, 当 Sr 的浓度大于 1 PPm 就会形成 Sr“磷灰石”的沉淀。

图 4 还指出方解石-溶液接触时间对一定大小的方解石除去 Sr 的量的影响。柱的长度的改变可认为相当于流速的变化的, 因为二者都和方解石溶液接触时间有关。

在本研究范围内其他不影响 Sr 除去的机构的变量有: ①一价和三价的阳离子 ② NO₃⁻, SO₄²⁻, Cl⁻, ③ 碳酸盐晶格类型, ④ 在流入液中 Sr, Pu, 和 Ca 的浓度。

表 2 指出加入一种一价和一种三价阳离子到流入液中, 对 Sr 的去除的相对影响。这些阳离子不影响 Sr 的除去。

表 2

其他阳离子对用颗粒大小相同的方解石, 从磷酸盐溶液中除去 Sr 的量的影响

其他阳离子的存在	Sr 的除去 %
无离子	78.0
0.02M Al ³⁺	80.0
3M Na ⁺	81.4

方解石-溶液接触时间(小时) 1.0
方解石重量(毫克) 400.0
方解石颗粒大小(毫米) 0.01
溶液的体积(毫升) 40.0
溶液的 pH 11.8
流入液: 0.05M Na₃PO₄·12H₂O, 2 毫克/升 Sr(NO₃)₂
100,000 d/m/ml Sr²⁺—Y³⁺, 加入其他阳离子, 其浓度已列入上表中。

表 3

Sr 被几种碱土元素的碳酸盐从同样的磷酸盐溶液中除去的相对量

碳酸盐	Sr 除去的量 %
SrCO ₃	98.5
BaCO ₃	96.6
MgCO ₃	94.8
CaCO ₃ (方解石)	94.4

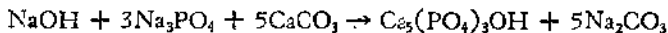
碳酸盐-溶液接触时间(小时) 2.0
碳酸盐重量(毫克) 400.0
碳酸盐颗粒大小(毫米) 0.01
溶液体积(毫升) 40.0
溶液 pH 11.1
流入液: 3M NaNO₃, 0.05M Na₃PO₄·12H₂O, 2 毫克/升 Sr(NO₃)₂, 100,000 d/m/ml Sr²⁺—Y³⁺。

表中也指出了上面列举的普通阴离子在除去 Sr 方面没有显著影响。然而氯离子(CN⁻)在高铁离子的存在下, 与 Sr 能形成络合阴离子。当发生这种情况时, Sr 从磷酸盐溶液中就不能被方解石除去。为了反应的进行, Sr 必须是阳离子。

表 3 列入了几个碱土元素的碳酸盐和它们从相同的磷酸盐溶液中除去的 Sr 的相对效率。MgCO₃ 和 CaCO₃ 有方解石型的结构, 而 SrCO₃ 和 BaCO₃ 是 aragonite 的型态, 以这磷酸盐的浓度, Sr 的去除效率是没有多大差别的。

討論

留在方解石-磷酸盐-Sr 和方解石-磷酸盐的柱中的物质经 X-射线绕射试验证明是结晶得不好的磷灰石这是在取代方解石的过程中按照反应:



生成的。虽然在流出液中已经鉴定有 Na₂CO₃, 但过程的效率不象前述理想的方程式及公

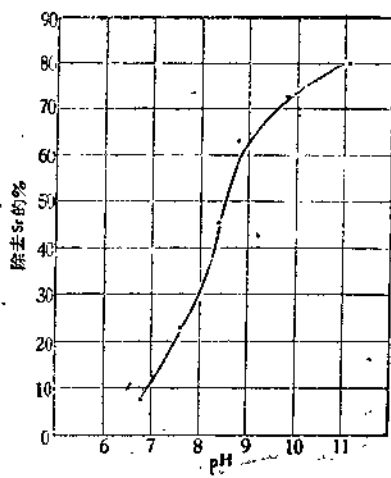


图 1. 用方解石除锶时随流入液的 pH 的变化

流入液 $0.05M \text{Na}_3\text{PO}_4 \cdot 12\text{H}_2\text{O}$
 $10,000 \text{ d/m/ml Sr}^{2+}-\text{Y}^{2+}$
 方解石颗粒 (mm) 0.077
 方解石重量 (mg) 500
 方解石-溶液接触时间(小时) 1.0

图 2. 用方解石除磷酸根 PO_4^{3-} 时随流入液的 pH 的变化

流入液 $0.05M \text{Na}_3\text{PO}_4 \cdot 12\text{H}_2\text{O}$
 $20,000 \text{ d/m/ml P}^{3-}$
 方解石颗粒 (mm) 0.077
 方解石重量 (mg) 500
 方解石-溶液接触时间(小时) 1.0

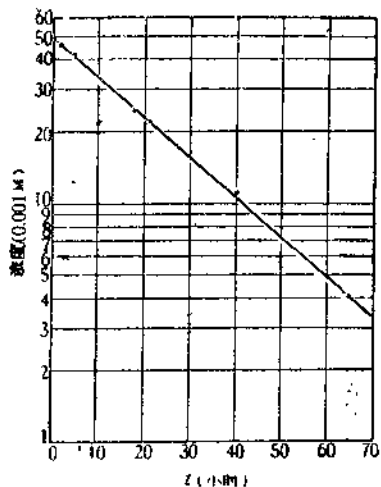
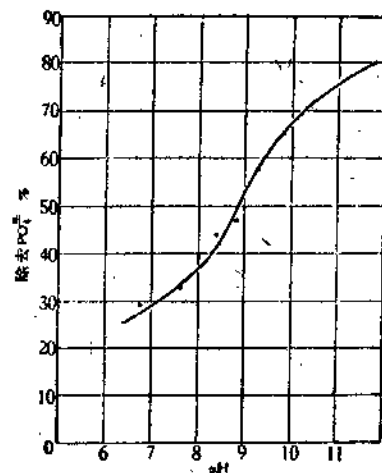


图 3. PO_4^{3-} 浓度随着时间的降低, 速度常数, K 是 0.0400 小时^{-1} . 当 PO_4^{3-} 的原始浓度是足够的低 PO_4^{3-} 起始时的移去很快, 可和在图 4、5 和 6 的阳离子的移去相比(在新鲜的方解石面上)

流入液 $0.05M \text{Na}_3\text{PO}_4 \cdot 12\text{H}_2\text{O}$
 $100,000 \text{ d/m/ml P}^{3-}$
 流入液的 pH 11.8
 方解石重量 (mg) 500
 计算的方解石表面 $14.4 \pm 1.0 \text{ cm}^2$
 方解石颗粒 (mm) 0.077
 温度 ($^{\circ}\text{C}$) 28

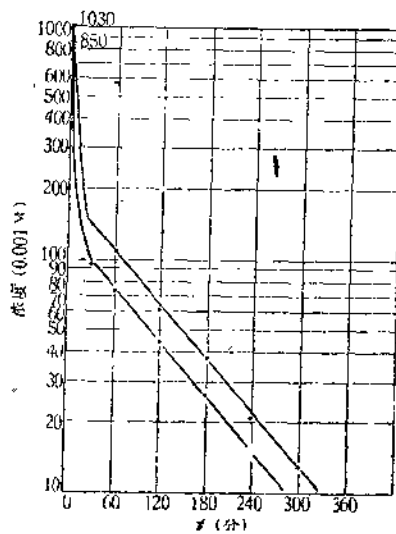
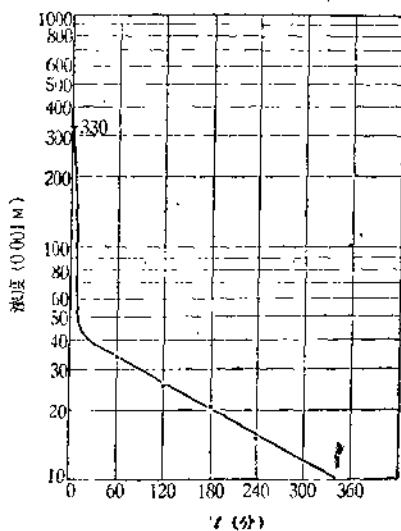


图 5. Ca^{2+} 的浓度随着时间的降低用来研究移去速率的方解石是光学级的，有完全的裂面(1011)方解石表面积的计算是根据于上面特征的完全裂面密度 2.71，平均颗粒大小为 0.077 mm。

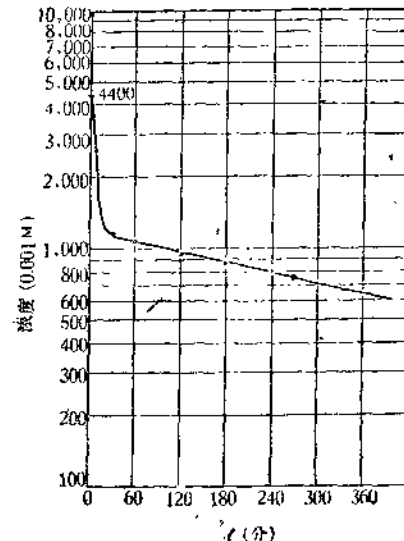
流入液	$0.05M \text{ Na}_3\text{PO}_4 \cdot 12\text{H}_2\text{O}$
	50,000 d/m/ml Ca^{2+}
流入液 pH	11.8
方解石重量 (mg)	500
计算得的方解石表 面积 (cm^2)	14.4 ± 1.0
方解石颗粒 (mm)	0.077
温度 (°C)	28



←

图 4. Sr^{2+} 随着时间的减低，注意 Sr^{2+} 的量在第一个半小时中除去的量和原始的 Sr^{2+} 浓度不成正比

流入液	$0.05M \text{ Na}_3\text{PO}_4 \cdot 12\text{H}_2\text{O}$
	12,000 和 10,000 d/m/ml
Sr^{2+} — Y^{3+}	
流入溶液 pH	11.8
方解石重量 (mg)	500
计算出来的方解石表 面积 (cm^2)	14.4 ± 1.0
方解石颗粒 (mm)	0.077
温度 (°C)	27



←

图 6. Pu^{4+} 的浓度随着时间的减低。 Pu^{4+} 的移去曲线将和在图 3 中的 PO_4^{3-} 一样，如果 Pu^{4+} 在磷灰石中所占的结构位置和 PO_4^{3-} 一样

流入液	$0.05M \text{ Na}_3\text{PO}_4 \cdot 12\text{H}_2\text{O}$
	1,000 d/m/ml Pu^{239}
流入液 pH	11.8
方解石重量 (mg)	500
计算得到的方解石表 面积 (cm^2)	14.4 ± 1.0
方解石颗粒大小 (mm)	0.077
温度 (°C)	29

式所表示的那样大。这反应被发现是可逆的，图 7 说明除去 Sr 的百分率，是流入液中磷酸盐—酸式碳酸盐之比的函数，然而方解石到磷灰石反应是一个取代过程，即方解石到磷灰石的反应大约以一克分子对一克分子进行，重量及体积都要增加。这反应已为 Irvine 和 Anderson (1891)^[1] 所描述了。证明方解石—磷酸盐的柱中，当仅有磷酸盐在流入液中时， PO_4^{3-} 单独引起取代反应的进行。Sr 的存在是取代反应的结果，然而任何能为磷灰石的结构所容纳的二价的阳离子，当它在流入液中的浓度低于其磷酸盐的 K_{sp} 时在取代过程中将混入磷灰石的晶格中去。已被知道的能为磷灰石晶格所容纳的二价阳离子有 Mg^{+2} ， Ca^{+2} ， Sr^{+2} ， Ba^{+2} ， Pb^{+2} 和 Zn^{+2} (Rankama 和 Sahama, 1950)^[3]。

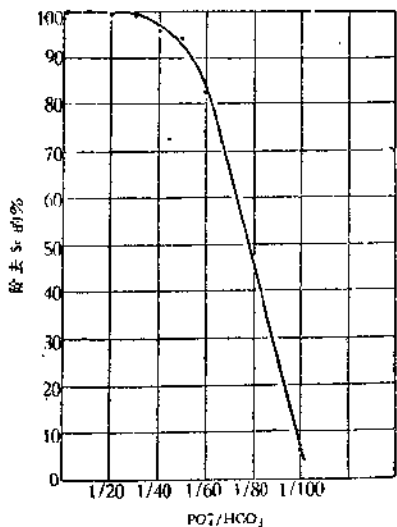


图7. Sr^{+2} 的移去受流入液中 $\text{PO}_4^{=3}/\text{HCO}_3^-$ 比率的影响, 当比率为 1/110, 磷灰石就将被相应的碳酸盐代替, 碳酸盐很快的溶解于这一流入液中.

滴入液	HCO ₃ ⁻ 和 PO ₄ ⁻³ 如下, 100,000 d/m/ml Sr ²⁺ --Y ³⁺
方解石柱重 (g)	50
方解石柱体积 (cc)	34
方解石颗粒 (mm)	1.0—0.25
流速	7cc/cm ² /小时。

用 Ca^{45} 做成的人造方解石，証明当进行取代过程中，方解石中的鈣保留在柱子中，当20克上述的含有 0.61 毫居里 Ca^{45} 的方解石改变成磷灰石时在流出液中，每 10³ 份发现的还不到一份。从 $\text{Na}_2\text{C}^{14}\text{O}_3$ 合成的方解石用 0.3M Na_3PO_4 溶液改变到磷灰石时，証明在取代过程中 C^{14}O_3 是真正的离开了方解石。发现当 18.2% 的 PO_4 位置被 CO_3^{2-} 所占据时，没有絲毫的方解石能被 X-射線的繞射所发现。在碳酸盐磷灰石中維持着电中性，由于 3.92% 重量的 Na^+ 代替了 Ca^{+2} ，以抵銷由于 10.2%（重量）的 CO_3 (McConnell, 1938)^[2] 而得到的过剩的正电荷。由于 Pu^{4+} 占据鈣的位置而得到的过剩的正电荷也可以用在同样的結構位置中 Na 的取代而抵銷掉。

表 4
在无磷酸盐的情况下方解石对 Sr 的交换容量

柱体体积	除去Sr的量%
0.98	32.7
1.96	22.1
2.61	10.8
3.92	6.6

柱体：1.0 到 0.25 毫米 150 克的方解石，
流速 $7\text{ml}/\text{cm}^2/\text{hr}$ ，
流入液： $3M \text{NaNO}_3$ ， $100,000\text{d/m/ml} \text{Sr}^{90}-\text{Y}^{90}$ ，
 pH 用 NaOH 调至 11.8。

表 5

在无磷酸盐的情况下方解石对 Sr 的交换容量

柱体体积	除去 Sr 的量 %
9.4	99.6
12.4	99.3
15.3	99.5
18.2	99.4
21.2	99.3
24.1	99.1
27.0	99.0
30.0	98.0

柱体：1.0 到 0.25 毫米加拿大的磷灰石 50 克
 流速 7 ml/hr/cm^2
 流入溶液 3 M NaNO_3 , 2 毫克/升 $\text{Sr}(\text{NO}_3)_2$, 1000d/
 $\text{m/ml Sr}^{2+}-\text{Y}^{3+}$.

Sr 主要在方解石或生成的磷灰石上，被阳离子交换移去的可能性，沒有被忽視。方解石的可能性也可以不考慮的，因为它在非平衡柱的条件下它的交换能力小到可以忽視。（看表 4）磷灰石有相当大的交换能力，（看表 5），但很难解释方解石除去 Sr 的較大容量，除非假定在取代过程中 Sr 进入了磷灰石結構中。

Sr, Ca, 和 Pu（图 4, 5, 6）的除去曲線也表明，当生成磷灰石的过程中这些阳离子进入了磷灰石的晶格中。当很快的起始的除去后这些阳离子向磷灰石一方解石界面的扩散即成为决定速度的步驟。每一阳离子有不同的比除去速度，并且正象我們可以想到的，除去速率和磷酸根离子的除去速率沒有明显的关系。还有，磷灰石生成的絕對速率是常数。显然，当开始的方解石顆粒變得較小时，单位時間內形成的磷灰石量逐漸變得大起来。这个条件在表 I 中表出，此地移去的 Sr 量是和生成的磷灰石是有关的。

在取代过程中，只有真正适合于磷灰石結構的阳离子才能被移去，和这些阳离子不容易用中性或硷性溶液从柱中提取出来的事实，进一步巩固了阳离子进入了磷灰石晶格中的假定。蒸餾水（pH = 6.8）浸取一方解石—磷灰石柱，（它已經萃取了 0.45mc 的 Sr⁹⁰）證明在浸取液中有小于百万分之一的 Sr⁹⁰。Sr⁹⁰ 含量小于百万分之一的数值不是磷灰石的溶解度，所以不能用来計算磷灰石的溶解度。在高的 pH 值时在流出液中 Sr⁹⁰ 会更少，在酸性范围内将更大。自然，任何欲得的除去法可以得到，只要 PO₄³⁻ 的浓度足够高循环含有 Sr⁹⁰, Ca⁴⁵, Pu²⁹ 的溶液，把它們一次除去。

为了得出一定重量的方解石，当它轉变到磷灰石时除 Sr 的能力，用 50 克 1.0—0.25 毫米颗粒状方解石的柱（体积 34cc）从 20 升的 0.05M Na₂PO₄, 3M NaNO₃ 的流入液中，移去大約 10 毫居里的 Sr⁹⁰—Y⁹⁰ 和 20 毫克的 Sr 而那时尚未表現出顯的穿透。当方解石完全被磷灰石所取代或当流入液以 7 毫升/厘米²/小时的流速通过大約 30—40 升时就可能出現穿透。此地的穿透的定义为在流出液中 Sr⁹⁰ 的含量高于它的最高允許浓度 8×10^{-7} 微居里/毫升。

含有 Sr⁹⁰, Ca⁴⁵, 或者 Pu²⁹ 的碳酸盐磷灰石很容易溶解在稀酸中。如果希望回收这些放射性同位素，则从惰性的鈣和磷酸盐中分离他們的問題仍然存在。然而，这种机构所生成的流出溶液，在某些情况下，可以直接处置，或者可以浓集某些放射性同位素，以便以后回收。这种机构还有这样的好处，可以在其他很多离子存在下操作。

总 結

总结了当存在硷性磷酸盐溶液时，碘土碳酸盐轉变成碳酸盐—磷灰石。在取代过程时原来的鈣和其他的阳离子，他們是存在于流入的溶液中，并且能适应磷灰石的晶格，就夾杂在磷灰石中。这一个机构証明从废物中移去所謂的“Bone-seeking”放射性同位素是很优越的，因为在这个机构和骨头的生成中都形成了含有这些同位素的碳酸盐和磷灰石。

參 考 文 獻

- [1] Irvine, R., and Anderson, W. S., On the Action of Metallic and Other Salts on Carbonate of Lime, Royal Soc. Edinburgh, Proc., Vol. 17, PP. 42—52, (1891).
- [2] McConnell, D., A Structural Investigation of the Isomorphism of the Apatite Group, Am. Mineral., Vol. 23, PP. 7—13, (1938).
- [3] Rankama, K., and Sahama, G., Geochemistry, University of Chicago Press, PP. 156—157 (1950).

輻照水中反應的近代研究*

Edwin J. Hart**

在液態水中電離輻射產生游離氫原子和氫氧化基。從電離作用到複雜化學反應最後階段的所有方面都在研究中。特別是在 γ -射線和一羣重粒子輻射的游基和分子產物產率的確定方面已經作出許多進展。這些產率的精密測定為擴散動力學的發展和闡明複雜的氫原子和氫氧化基的反應鋪平了道路。這篇概説性論文要討論到擴散理論、游基產率、新游基品種、化學劑量計法和一些簡單的含水無機和有機反應化學等方面的最近研究。

游基擴散理論

就理論和實驗二者的準則而言，輻照水的研究都認為液態水離解為游基，



對於反應(1)的詳細機理几乎什麼都不知道，但是引起氫氧化基的過程被寫作：



其次，水俘獲次級電子而成為 H_2O^- 它產生了氫原子：



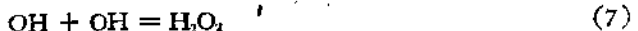
(2)和(3)的淨反應是(1)。反應(1)是這樣簡單，以致使人懷疑是否為僅有的淨初級過程。能否有其他反應直接得到“分子產物”氫和過氧化氫呢？是否可能，激發的水分子在“密道”(Spur)上與鄰近的水分子起着如下的反應：



對於這些問題的解答是否空的。但在稀的水溶液中，氫和過氧化氫可以作為初級輻照產物出現的。它們的產率， $G(\text{H}_2)$ 和 $G(\text{H}_2\text{O}_2)$ ，隨著溶質濃度的增加而降低。就氫而言，溶質 S_1 清除氫原子，因此 $G(\text{H}_2)$ 減少。



而氧化溶質 S_2 由於反應(8)使 $G(\text{H}_2\text{O}_2)$ 減少：



涉及許多不同清除劑(scavengers)的實驗結果定性地來看，是與游基離解反應(1)相符合的。當分子產率隨著 S_1 或 S_2 的濃度增加而降低時，游基產率大體按反應(5)—(8)所預期的一樣增高着。在硝酸鈣溶液中，氫實際上已完全消失，這解決了對初級分子產物反應(4)的爭論。在反應堆中輻照過的 15.9M 硝酸鈣溶液，它的 $G(\text{H}_2)$ 只有 0.011^[1]。如果只考慮在水中所吸收的能量的話， $G(\text{H}_2)$ 是 0.025。因此對於混合 γ -射線和從 $\text{N}^{14}(n, p)\text{C}^{14}$

* 第二屆和平利用原子能國際會議論文，A/CONE. 15/p/951，美國，1958年6月，原文：英文。

** Argonne National Laboratory, Lemont, Illinois, U. S. A.

反应产生的反冲质子辐射而言，分子氯根本没有出现。所以，反应(4)是不重要的。

径迹效应的理论是在许多实验室中发展出来的^[2,7]，即用一个单基模型，即假定游基原始有一高斯分布与以游基-游基和游基-溶质反应的同时存在游基的扩散，理论上被清除游基的分数与实验很好符合。这些研究的严重缺点是缺少可靠的绝对游基-游基和游基-溶质速率常数，游基扩散常数，以及在“密道”中有关游基数目和分布的常数。但是，在选定这些常数的合理数值时，则在实验和球形扩散情况下的理论之间发现相当好的一致性^[2,6]。

最近，已经用电子计算机算出了这时使用了适合于几种球形和圆筒形扩散情形的边界条件如下方程式的^[7]数字解：

$$\frac{\partial n}{\partial t} = D \left[\frac{\partial^2 n}{\partial r^2} + \frac{\epsilon}{r} \frac{\partial n}{\partial r} \right] - 2\alpha n^2 + \beta cn \quad (9)$$

方程式(9)代表用单一清除剂的单基模型的反应动力学。D是扩散常数，r是离浓度为n的游基对称中心的距离，α和β是速率常数，而c是溶质的浓度。ε对于球形扩散等于2，而对于圆筒形扩散等于1。与溶质作用的游基数目说成是二个无量纲参数的函数，这两个参数用来确定这个问题。这个工作能用对很不同的电离辐射的理论作实验比较。高速多道计算机的出现在辐射化学中预示着扩散动力学的美好未来。现在能够使几种参数如象几种游基、不同的速率和扩散常数和溶质的局部减少等结合到扩散动力学图象中去，而得出一种更现实的模型。

对清除剂的研究用3.4 Mev α粒子照射碘化钾水溶液显示出在0.01到0.1M溶液的浓度范围内G(H₂O₂)有一陡然下降^[8]。G(H₂O₂)函数下降与用圆筒形扩散模型预料的结果相符合，所以对于密电离α粒子就保持着我们的初级离解反应(1)。

游 基 产 率

游基产率的研究对于化学家们是具有巨大实际价值的。这些产率使我们能预料在辐射时发生的定量化学变化。此外，它们帮助解决反应的机制。两个重要方面是：(1)电离粒子的电荷和速度对于游基产率G(H)和G(OH)的影响；(2)pH对于这些产率的影响。

为了测定这些游基产率特别有用的化学体系是硫酸亚铁+氧，硫酸铈，硫酸亚铁+硫酸铜，硫酸铁+甲酸，硫酸铁+硫酸铜+甲酸，甲酸+氧，氯+氧，和碘化钾。除掉后面三个可以适用于全部pH范围外，这些体系限于酸性溶液。

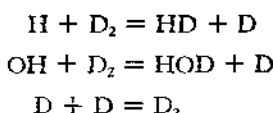
轻粒子辐射，如象X-射线，γ-射线和电子，主要产生游基。G(H)+G(OH)的和，当清除剂的浓度从0.0001M增加到1.0M时就逐渐增大，在6和7之间改变着^[9,10]。分子氯和过氧化氯的产率是0.4-0.5。重粒子辐射主要产生分子氯和过氧化氯。用裂变反冲达到G(H₂)等于1.83的极限值^[11]。对一切实用的目的来说，这些裂变反冲的G(H)和G(OH)都是零。在质子^[12]，氘核^[12,13]，α粒子^[13]，B¹⁰(n, α) Li⁷和Li⁶(n, α) H³方面的工作都已发表过。在这全部辐射范围内被分解的水分子数(在酸溶液中)只从4.5 γ-射线变到3.6(裂变反冲)，而G(H)+G(OH)的和却从6.0下降到0。

除电离过程外，离解过程也助长了水中的游基产率。1849和1960 Å的光辐射使液态水离解，量子产率φ(-H₂O)为0.44^[16]。稀甲酸溶液被这些辐射分解为氯和二氧化碳。

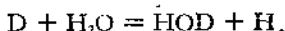
这些辐射在溶有氯气-液态水的体系中也会生成氯化氢。高到象 0.44 这样的量子产率显示出在辐射化学中离解过程的重要性。

在 γ -射线辐照的酸溶液中出现比氢氧基更多的氢原子。在 0.8N 硫酸中, $G(H)$ 是 3.65 和 $G(OH)$ 是 2.95^[17]。当 pH 增加到 3 以上时, $G(H) - G(OH)$ 的差就下降。在中性溶液中, 证据是矛盾的; 在甲酸-氧体系中, $G(H)$ 差不多等于 $G(OH)$; 在氯土溴离子溶液中, $G(H) - G(OH)$ 是 0.6。在全部 pH 范围内, $G(-H_2O)$ 保持 4.0 到 4.5 不变^[18]。正确值决定于用来测量产率的清除剂的效力。

笼型效应 (Cage-effect) 阻止在液态水中水分子的有效离解。如预期的一样, 在水汽中的游基产率是比液态水中的产率为高。对于含有氯清除剂浓度的含氯水汽, $G(-H_2O)$ 等于 11.7^[19]。此时, 在氯原子衰变中所放出的电子使水分子电离。简单的机制表明是化学计算式:



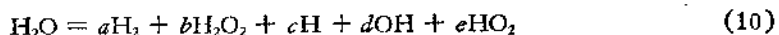
$G(HD)$ 等于 11.7, 同样 $G(-H_2O)$ 也等于 11.7。在低于 150° 的温度时, 这是一个非连锁反应。在这温度以上时, 以 18 Kcal 的活化能使连锁反应开始。连锁传递的步骤是



新游基的品种

辐照水中存在有氢原子和氢氧基以外的品种的据証在积累着。提出的品种是过氧化氢基, HO_2 , 氢分子离子, H_2^+ , 氧原子离子, O^- , 和逊激发电子。

最近的实验工作証实在电离粒子径迹中存在的品种内含有过氧化氢基 (HO_2)。所以一般辐射分解 (radiolysis) 方程式成为:



$G(HO_2)$ 是低的, 对于 γ -射线 0.026, 但对于低能量的 α -射线就增到 0.15。这个过氧化氢基表现出象一个初級游基的行为。在高溶质浓度时, 找不到这个基。因此, 它可能是在密道中反应



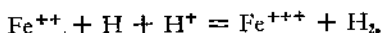
生成。当氢氧基被高浓度的清除剂除去时, 反应(11)不能进行。 HO_2 发生的实验证据在于 (a) 在无空气的 $FeSO_4-CuSO_4$ 中生成氧^[9], (b) 在 $Ce^{++}-Ti^+$ 体系中比预料较低的 $G(Ce^{+++})$ ^[20] 和 (c) 在 $Fe^{+++}-Cu^{++}-HCOOH$ 体系中生成氧^[10]。

用电子辐照脱气水的旋转窗实验 (Rotating sector experiments) 显示出一种半衰期为 0.01 秒的品种^[21]。 $G(H_2O_2)$ 依赖于 (强度) $^{1/2}$ 。这个品种可能是过氧化氢基, 它有一些是发生在径迹中, 但绝大部分是由氢氧基和过氧化氢在径迹外作用所发生。

在脱气的酸溶液中的铁离子产率可用 H_2^+ 反应来说明



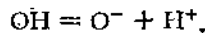
但也可以用一个三体反应来说明这个氧化反应



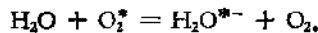
在水 + D_2 反应中没有连锁存在和在氯原子-硫酸亚铁反应中没有 pH 效应存在, 这证实

氢原子加氯离子的氧化而不是 H_2^+ 中間体的氧化作用^[22,23]。在这个研究領域內还需要做更多的工作。

pH 的研究証實 pH 在 9.0 以上时氢氧基的电离^[24]。



在含有溶解的同位素标记氧, O_2^* , 的水中, 正常氧, O_2 , 是一种产物。总反应是:



在直到 pH 約为 9 以前的溶液中, $G(O_2)$ 是 1.0。在这 pH 以上时, 連鎖反应开始, 到 pH = 13.9 时 $G(O_2)$ 增加到 585。說明这个結果的反应是:



在这反应中, O^- 比氢氧基更稳定些。

在辐射化学中“逆激发”(subexcitation) 电子的作用是未知的^[25]。来自水的初級电离的这些电子由于非弹性碰撞而丧失能量。当能量降低到水的最低激发能以下时, 这些“逆激发”电子与溶質或杂质的反应可能比与水的反应具有更高的截面。这些电子与甲酸和与氧的相互作用已在反应机制中已假定过了。确实, 困难是这些电子与在反应中单个电子的轉移氢原子之間的区别。用顏色变化来确証溶剂化电子报告的嘗試已經失败了。当在一个二氧化硅吸收杯壁上的金属钾与水在 0°C 起反应时, 没有可見的顏色生成^[26]。束缚电子的寿命在用吸收光譜的变化来作检定是嫌太短了。

化学剂量測量法

在剂量测量研究的三个方面已經作出了重大的进展: (a) 傅立克(Fricke) 剂量測量中粒子的电荷和速度对 $G(Fe^{+++})$ 的影响, (b) 高的积分剂量, (c) 高的剂量率。

$G(Fe^{+++})$ 从对于輕粒子辐射如象电子、 γ -射線和 X-射線的 15.6 改变到用裂变反冲的 3.0 左右。現在已經報道了对中間綫性能量轉移輻射的 $G(Fe^{+++})$ ^[22,23]。对于 Po^{210} α -粒子^[27,28], $B^{10}(n, \alpha) Li^{7}$ ^[15], 和 $Li^{6}(n, \alpha) H^3$ ^[15] 輻射的新資料也已出現了。对 5.3 Mev α -粒子來說新的 $G(Fe^{+++})$ 值較低为 5.2^[27] 和 5.6^[28] 这是特別感兴趣的。以前的 6.2 产率与用迴旋加速器产生的 α -粒子所得的数值不符合^[13]。現在化学家已具有处理各种不同辐射的剂量技术。作为結果現能实行包括极广大的綫性能量轉移范围的研究。这种工作的結果在試驗理論扩散动力学的研究中将是重要的, 并将在化学和生物研究中具有廣闊的应用。

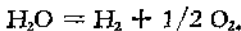
在辐射应用上如水-慢化的反应堆和食品消毒方面有价值的高水平的剂量測量也已受到重視。研究集中在总的积分剂量容量和瞬时的剂量率方面。傅立克剂量計的总剂量容量是 55,000 雷特(rads)。对 γ -射線來說, 相对低的剂量容量是因为 15.6 的高 $G(Fe^{+++})$ 和在空气-饱和溶液中低的氧气浓度引起。而硫酸铈不可能是最好的高水平化学剂量測量, 无疑地对于这个目的最好的是含水剂量測量。它具有高到 1.2×10^7 雷特的綫性感應, 这适用于食品消毒的兴趣范围之内^[29]。此外, 使用 0.4M 硫酸铈^[30]可以把这个范围擴大到 10^9 雷特以上。但在这些高浓度时, 清除剂的效应起着作用。与低的四价铈浓度的行为正相反, 在 0.4M 的溶液中 $G(Ce^{3+})$ 从开始的 3.1 的产率下降到铈离子近乎用尽时的 1.7。其他高水平的剂量測量是草酸溶液^[31], 和气体从水中放出^[32]。在 10^9 雷特时, 在后一剂量測量中水的分解达 1% 范围内。用一束 1.96 Mev 的穩定电子流, $G(Fe^{+++})$ 与剂量

率是无关的直到 2×10^6 雷特/秒^[33]为止。在这些情况下，必须使用一有效的搅拌器。在电子短暴幅照时，瞬时剂量率这 $\sim 10^{10}$ 雷特/秒的^[34]，G 还是不变的。此时控制单次电子短暴幅射的持续时间为 1.7×10^{-6} 秒而供出 13,000 雷特的总剂量。因此，对于包括许多用在广阔剂量率范围的不同电离粒子的一切实际情况化学剂量法适合于化学家的需要。

无机反应

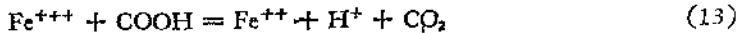
一系列的无机反应机制的研究正开始着。我们已经知道了包括在水分解中的一些基本过程并且能够说明在我们硫酸亚铁和硫酸铈剂量测量中进行的反应，现在新体系的动力学都正在研究着。

纯粹的沸腾的或通泡的水，当被 Co^{60} γ -射线辐照时^[35]就分解，而由 γ -射线和中子组成的堆辐射并不使纯粹的不沸腾水分解^[36-39]。在波拉赫 III (Borax III)，(阿尔莫的实验沸水反应堆)曾发现水的分解速率比在不沸腾的水慢化反应堆中要大得多^[40]。这种分解探索到辐照的沸水中原有水的不稳定性。用 γ -射线在有效清洗条件下，氢的产率， $G(\text{H}_2)$ ，等于 0.4 而氧的产率， $G(\text{O}_2)$ ，等于 0.2^[35]。总结果是水的分解成氢和氧

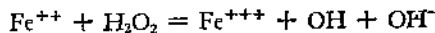


当辐照时通泡的或沸腾的水有效地从溶液中清洗去氯。显著多的 $G(\text{H}_2)$ ，接近于分子产物产率，显示出在沸腾的液态水中只有少量与过氧化氢重结合。留下的过氧化氢就遭到它正常的基所诱导生成水和氧的分解作用。断定在沸水状态下的发生氢和氧是与水分解的动力学有关的^[39]。

硫酸亚铁的还原反应可以确定游基产率。这些体系用甲酸是特别有用的，因为它占有氢氧基而防止亚铁离子的氧化作用^[41]。游基反应是：

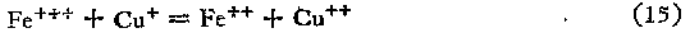
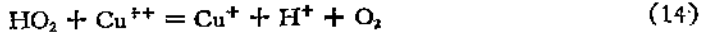


在有利条件下， $G(\text{Fe}^{++}) = G(\text{H}) + G(\text{OH})$ ，因过氧化氢的影响被消除了：

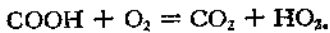


在这个反应中所产生的氢氧基按反应(12)和(13)还原别的铁离子。所以就正确地得到游基产率的和。

当硫酸铜加到硫酸亚铁-甲酸溶液中去时就得到一种在充气溶液中有用的游基剂量测量^[40,42]。重要的附加反应是：



因为或是氢原子或是过氧氢基按反应(14)和(15)还原铁离子，氧对产率没有影响。氢也没有影响按与 COOH 基反应的还原作用。



这个反应后面紧接着便是反应(14)和(15)它等于还原铁离子的反应(13)。

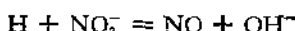
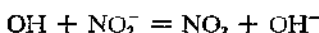
氢氧基与硫酸离子反应着^[43]。氢氧基与亚铈离子和甲酸的反应本领随着硫酸浓度的增加而降低。显然新生成的硫酸根游基氧化亚铈离子，但并不氧化甲酸。硫酸根离子选

择性的消除氢氧基可以说明为什么在 0.8N 硫酸中得到较大的氢原子产率。氢原子不可能被硫酸根游基象被氢氧基那样有效地消除。在甲酸中的反应是：

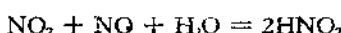


相对速率常数是： $k_{(\text{OH} + \text{Ce}^{3+})}/k_{(\text{OH} + \text{HCOOH})} = 1.70$ ， $k_{(\text{OH} + \text{HCOO}^-)}/k_{(\text{OH} + \text{HSO}_4)} = 380$ ，和 $k_{(\text{OH} + \text{Ce}^{3+})}/k_{(\text{OH} + \text{H}_2\text{O}_2)} = 650$ 。

γ -射线使去气的亚硝酸钾溶液氧化为硝酸盐^[4]。在分子产物产率中所产生的氢和过氧化氢是重要的初步产物。在次级辐射所诱导的反应中过氧化氢使亚硝酸根离子氧化为硝酸根离子。游基反应是：



然后



因此以总的結果来看，等数目的氢和氢氧基亚硝酸根离子的浓度上并没有引起变化。当过氧化氢在溶液中形成时，硝酸根离子按如下反应生成

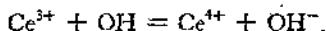


这些額外的 OH 基产生过量 NO₂，它接

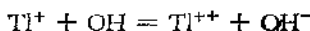


得到硝酸根离子。用 KNO₂—H₂O₂ 体系的研究工作确定 $k_{(\text{H} + \text{NO}_2^-)}/k_{(\text{H} + \text{H}_2\text{O}_2)} = 0.47 \pm 0.03$ 。

在铈离子(Ce⁴⁺)体系中硝酸根离子增加 G(Ce³⁺) 的量如在 Ce⁴⁺ + Tl⁺ 体系中一样多^[5]。亚铊离子增加 G(Ce³⁺) 值从 0 增到 2nM 时，对于稀硫酸铈溶液 G(Ce³⁺) 就从 2.52 增到 7.85。在无亚铊的铈离子溶液中 G(Ce³⁺) 是低的，因为氢氧基使亚铈离子氧化回到铈离子：

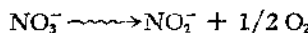


但亚铊离子除去氢氧基产生一种还原品种，Tl⁺⁺。



所以 $7.85 - 2.52 = 5.32$ 的差数是 $2G(\text{OH})$ 。因为在各种体系中，硝酸根离子增加等量的 G(Ce³⁺)，已假定硝酸根离子具有一种直接作用。

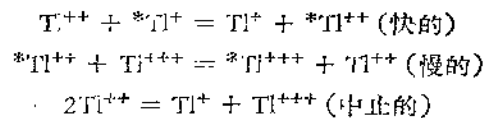
γ -射线的直接作用使浓的硝酸盐溶液还原为亚硝酸盐^[6]。直接作用的产率，G(NO₂⁻)_{direct}，随硝酸根离子浓度的增加而增高。为了氧化分子过氧化氢，这个产率是用加入的硫酸铈来测定的。这样反作用就被消除了。在 0.04M 硝酸盐溶液以下直接作用停止而在 5M 溶液中就增加到 2.55 的 G(NO₂⁻)。直接作用的影响可以引向净反应：



而这个反应的产率随着硝酸盐浓度而增高。如果把这些浓溶液的結果外推到 26.6M 时的晶态硝酸盐，G(NO₂⁻) 成为 3.44。然而对于晶态硝酸鉈來說 G(NO₂⁻) 只是 0.145—0.36^[7]。这样大的差别显示出在晶体状态时变化着相当大的逆反应。

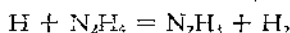
辐射所誘导的 Tl⁺⁺⁺ 和 Tl⁺ 之間的連鎖交換反應証實中間 Tl⁺⁺ 离子的存在^[8]。在 0.8N 硫酸中鉈离子被 γ -射线还原产率为 1.34 G(Tl⁺)，此外，伴同的連鎖交換反應

$G(ex) = 32$ 也发生着。这个交换反应是与 Tl^+ 无关而按 $(Tl^{+++})^{0.93}$ 和 (强度) $^{0.67}$ 进行。机制,

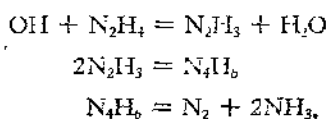


说明这些结果。 $({}^*Tl)$ 品种是放射性的。氧化性的和还原性的溶质 (Fe^{++} , Fe^{+++} , Ce^{3+} , 和 Ce^{4+}) 干扰以 X-射线所引起的连锁反应并消除连锁交换过程。因为这些品种与 Tl^{++} 作用并降低它的浓度, ${}^*Tl^{++} + Tl^{+++}$ 交换反应已不重要。

含水的肼分解成氮、氮和氢。 $C(-N_2H_4) = G(NH_3) \approx 5.2$; $G(N_2) = G(H_2) = 2.5^{[4]}$ 。高的氯产率证明氮原子按



从肼中取去氮。为了说明上面的产率和产物, 写成:



由于竞争性反应



过氧化氢和 $G(H_2)$ 下降到分子产物的产率。

$$k_{(H+H_2O_2)}/k_{(H+N_2H_4)} \approx 2 \times 10^3.$$

N_2H_6 也与过氧化氢反应再生成肼而不产生氮和氢。

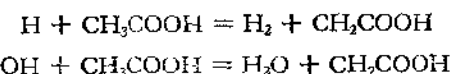
有 机 反 应

在饱和脂肪族化合物的水溶液中所产生的氢原子通常从溶质中取去氢。所以在足够高的溶质浓度时, $G(H_2)$ 接近于氢原子加上分子氢的产率之和。在水溶液中的苯是一个例外。此时观察到的产率正是用 C_6H_6 或 C_6D_6 作为清除剂的分子产物的产率^[50]。

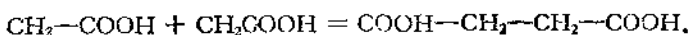
在含水的脂肪酸和氨基酸的辐射分解 (radiolysis) 方面已作出了相当的进展。所得到的复杂产物的结构指出是从简单的基-基重结合反应生成的。

用 35Mev 氯离子辐照的甲酸溶液产生氢, 二氧化碳, 一氧化碳, 甲醛, 乙二醛, 和乙醛酸, 丙酮二羧, 草酸, 2-羟基丙二羧, 羟基乙酸和酒石酸^[51, 52]。所以从单个碳的酸能辐射合成具有四个碳原子的化合物。大部分这些化合物来自 $COOH$, HCO 和它们的带有如羟基和羧酸不稳定中间物的反应产物之间的游基重结合反应。

CH_3COOH 基是在乙酸辐射分解中的一种重要中间物。氢原子和羟基按照反应



产生这个有机基。丁二酸是从基-基反应结果得到的初级产物,

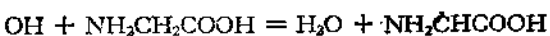
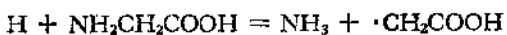
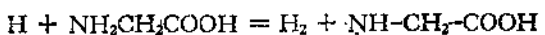
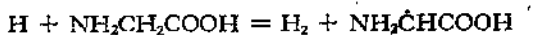


如上面表示的氢与乙酸的反应用 CH_3COOH 在 D_2O ^[53] 内反应所产生的氢的一个同位素分析证实。35% 以上氢是氘化氢。在充氧的乙酸溶液中, 丁二酸变成次要产物而以乙醛酸和羟基乙酸代替了它。

在 L-苹果酸分子内选择性氧化破坏发生在-CH₂-和-CHOH-基而在羧基上^[54]。基本的四个碳原子结构保持完整的。在充氧的溶液中丁酮二酸和 α -羟基 β -酮基丁二酸酯是二个主要的初级产物。

在乙氨酸和丙氨酸的辐射化学中已经作出了显著的进展。这些氨基酸以复杂的机制辐射分解着，而氧和 pH 在产物的产率上具有显著的影响。

氢、二氧化碳、氨、乙酸、甲醛和乙二醛是含水乙氨酸辐射分解的主要产物^[52,55-59]。氧显著地降低氢的产率而增加醛和过氧化氢的量。氨的产率没有改变。初级游基反应被写作：



这三个主要乙氨酸基的相互间的，与过氧化氢和与氧的次级反应产生所观察到的产物。

含水丙氨酸的辐射分解符合于乙氨酸的分解^[60,61]。丙氨酸的辐射分解得到作为初产物的氢、二氧化碳、氨、乙醛、丙酮酸、丙酸和乙胺。这些化合物，除掉额外的甲基外，是类似于乙氨酸的辐射分解的产物。

参 考 文 献

- [1] Sowden, R. G., Effect of Nitrate Ion on the Yield of Hydrogen from Water Radiolysis, *J. Am. Chem. Soc.*, 79:1263-4 (1957).
- [2] Samuel, A. H. and Magee, J. L., Theory of Radiation Chemistry II. Track Effects in the Radiolysis of Water, *J. Chem. Phys.*, 21:1080-87 (1953).
- [3] Fricke, H., Track Effect in Iochimistry of Aqueous Solutions, *Ann. N. Y. Acad. Sci.*, 59:567-73 (1955).
- [4] Schwarz, H. A., The Effect of Solutes on the Molecular Yields in the Radiolysis of Aqueous Solutions, *J. Am. Chem. Soc.*, 77:4960-4 (1955).
- [5] Ganguly, A. K., and Magee, J. L., Theory of Radiation Chemistry, III. Radical Reaction Mechanism in the Tracks of Ionizing Radiations, *J. Chem. Phys.*, 25:129-34 (1956).
- [6] Mouschick, L., Magee, J. L., and Samuel, A. H., Theory of Radiation Chemistry IV. Chemical Reactions in the General Track Composed of N Particles, *Ibid.*, 26:935-41 (1957).
- [7] Flanders, D. A., and Fricke, H., Application of a High Speed Electronic Computer in Diffusion Kinetics, *Ibid.*, in press.
- [8] Senvar, C. B., and Hart, E. J., Decomposition of Aqueous Solutions by α -Particles, This Conference (1958).
- [9] Hart, E. J. Radiation Chemistry of Aqueous Ferrous Sulfate-Cupric Sulfate Solutions. Effect of γ -Rays, *Radiation Research*, 2:33-46 (1955).
- [10] Miller, N., *Ibid.*, in press.
- [11] Boyle, J. W., Kieffer, W. F., Hochanadel, C. J., Sworski, T. J., and Ghormley, J. A., The Decomposition of Water by Fission Recoil Particles, International Conference on the Peaceful Uses of Atomic Energy 7:576-82 (1956).
- [12] Hart, E. J., Ramler, W. J., and Rocklin, S. R., Chemical Yields of Ionizing Particles in Aqueous Solutions. Effect of Energy of Protons and Deuterons, *Radiation Research*, 4:378-93 (1956).
- [13] Schuler, R. H., and Allen, A. O., Radiation Chemistry Studies With Cyclotron Beams of Variable Energy: Yields in Aerated Ferrous Sulfate Solutions, *J. Am. Chem. Soc.*, 79:1565-72 (1957).
- [14] McDonell, W. R., and Hart, E. J., Oxidation of Aqueous Ferrous Sulfate Solutions by Charged Particle Radiations, *J. Am. Chem. Soc.*, 76:2121-4 (1954).
- [15] Schuler, R. H., and Barr, N. F., Oxidation of Ferrous Sulfate by Ionizing Radiation from (n, α)